

Simulação Numérica de um Sistema não linear do tipo Termoelástico

Bruno A. Carmo¹

Mauro A. Rincon²

Programa de Pós-Graduação em Informática, IM-UFRJ

Resumo. Neste trabalho apresentamos a existência, unicidade e solução numérica de um sistema termoelástico com não linearidade local e global. A solução numérica é obtida via método dos elementos finitos na variável espacial e diferenças finitas na temporal. O sistema não linear resultante é resolvido via método de Newton. Experimentos numéricos, para o caso unidimensional, são apresentados em ordem de estimar a taxa de convergência da solução numérica.

Palavras-chave. Sistema termoelástico, Simulação numérica, Ordem de convergência, Método de Newton.

1 Introdução

Sejam u e θ , respectivamente, o deslocamento e temperatura, solução do sistema

$$\begin{cases} u''(x, t) - \alpha(t)\Delta u(x, t) + (\mathbf{a} \cdot \nabla)\theta(x, t) + \lambda|u(x, t)|^\rho u(x, t) = 0, \\ \theta'(x, t) - \beta\left(\int_{\Omega} \theta(x, t) dx\right)\Delta\theta(x, t) + (\mathbf{a} \cdot \nabla)u'(x, t) + \gamma(\theta(x, t)) = 0, \end{cases} \quad (1)$$

com $(x, t) \in \Omega \times]0, T[$ e condições iniciais e de fronteira

$$\begin{cases} u(x, 0) = u_0(x), \quad u'(x, 0) = u_1(x), \quad \theta(x, 0) = \theta_0(x) \quad \text{em } \Omega, \\ u(x, t) = 0 \quad \text{sobre } \Gamma_0 \times]0, T[, \quad \theta(x, t) = 0 \quad \text{sobre } \Gamma \times]0, T[, \\ \frac{\partial u}{\partial \nu}(x, t) + \eta(x)u'(x, t) = 0 \quad \text{sobre } \Gamma_1 \times]0, T[, \end{cases} \quad (2)$$

em que Ω é um conjunto aberto limitado do \mathbb{R}^n com fronteira suave Γ e $T > 0$ um número real arbitrário. Suponha $\Gamma = \overline{\Gamma_0} \cup \overline{\Gamma_1}$, satisfazendo $\Gamma_0 \cap \Gamma_1 = \emptyset$. O vetor normal unitário exterior a Γ é dado por ν , \mathbf{a} é um vetor constante do \mathbb{R}^n , λ e ρ são constantes reais positivas e α , β , γ e η são funções reais.

O sistema (1)-(2) modela pequenas vibrações verticais de uma membrana elástica acoplada com uma equação do calor e sujeita a condições de fronteira lineares mistas. O termo

¹ bruno.carmo@ppgi.ufrj.br

² rincon@dcc.ufrj.br

com a não linearidade não-local, $\beta \left(\int_{\Omega} \theta(x, t) dx \right) \Delta \theta(x, t)$, representa o fluxo de calor, ver em [1].

Modelos relacionados com este sistema de equações têm sido estudados por vários autores, entre eles podemos citar [2–4]. Em [2], as condições de fronteiras são análogas, porém o sistema é linear. Já em [3], além das mesmas não linearidades, o sistema é sujeito a uma condição de acústica não linear sobre parte da fronteira. Em ambos os trabalhos os autores investigaram a existência e unicidade das soluções e o comportamento assintótico da energia. Em [4], além da existência e unicidade, é apresentada a solução numérica para um modelo termoelástico linear com fronteira móvel.

O objetivo deste trabalho é apresentar um método numérico baseado no método dos elementos finitos no espaço e método das diferenças finitas no tempo e verificar a eficiência do mesmo, analisando a ordem de convergência, a estimativa de erro, o decaimento assintótico e os gráficos comprovando os resultados teóricos conhecidos.

2 Resultados Analíticos

Com o objetivo de apresentar os resultados teóricos do sistema enunciamos a seguir o teorema de existência e unicidade de solução, cuja demonstração pode ser encontrada em [5]. Os resultados teóricos são fundamentais para o desenvolvimento do método numérico.

Considere as seguintes hipóteses:

$$\left\{ \begin{array}{l} \alpha \in C^1([0, \infty); \mathbb{R}) \text{ com } \alpha' \in L^1(0, \infty) \cap L^\infty(0, \infty) \text{ e } \alpha(t) \geq \alpha_0 > 0; \\ \beta \in W^{1, \infty}(\mathbb{R}) \text{ e } \beta(t) \geq \beta_0 > 0; \quad \gamma \in W^{1, \infty}(\mathbb{R}) \text{ e } \gamma(0) = 0; \\ 0 < \rho < \infty \text{ se } n = 1, \quad \frac{1}{2} \leq \rho < \infty \text{ se } n = 2 \text{ ou} \\ \frac{1}{n} \leq \rho \leq \frac{2}{n-2} \text{ se } n \geq 3; \quad \eta \in W^{1, \infty}(\Gamma_1) \text{ e } \eta(x) \geq \eta_0 > 0. \end{array} \right. \quad (3)$$

Definindo $V = \{v \in H^1(\Omega); \gamma_0(v) = 0 \text{ sobre } \Gamma_0\}$ e $H_\Delta(\Omega) = \{v \in H^1(\Omega); \Delta v \in L^2(\Omega)\}$, o teorema de existência e unicidade é dado por:

Teorema 2.1. *Sob as hipóteses (3), $u_0 \in V \cap H_\Delta(\Omega)$, $u_1 \in V$, $\theta_0 \in H_0^1(\Omega) \cap H^2(\Omega)$ e $\frac{\partial u_0}{\partial \nu} + \eta u_1 = 0$ em Γ_1 , existe um único par de funções $\{u, \theta\}$, para $T > 0$ arbitrário, solução de (1) - (2), satisfazendo*

$$\left\{ \begin{array}{l} u \in L^\infty(0, T; V \cap H_\Delta(\Omega)), \quad u' \in L^\infty(0, T; V) \cap L^2(0, T; L^2(\Gamma_1)), \\ u'' \in L^\infty(0, T; L^2(\Omega)) \cap L^2(0, T; L^2(\Gamma_1)), \\ \theta \in L^\infty(0, T; H_0^1(\Omega) \cap H^2(\Omega)), \quad \theta' \in L^\infty(0, T; H_0^1(\Omega)), \end{array} \right. \quad (4)$$

e as equações (1) e (2) são verificadas no seguinte sentido

$$\int_0^T \int_{\Omega} [u''\phi + \alpha \nabla u \cdot \nabla \phi + \lambda |u|^\rho u \phi + (\mathbf{a} \cdot \nabla) \theta \phi] dx dt + \int_0^T \int_{\Gamma_1} \alpha \eta u' \phi dx dt = 0, \tag{5}$$

$$\int_0^T \left[\int_{\Omega} \theta' \varphi dx + \beta \left(\int_{\Omega} \theta dx \right) \int_{\Omega} \nabla \theta \nabla \varphi dx + \int_{\Omega} (\mathbf{a} \cdot \nabla) u' \varphi dx + \int_{\Omega} \gamma(\theta) \varphi dx \right] dt = 0,$$

para todo $\phi \in L^2(0, T; V)$ e $\varphi \in L^2(0, T; H_0^1(\Omega))$.

3 Solução Aproximada

A partir dos resultados teóricos vamos desenvolver um método para obter a solução numérica.

3.1 Método de Galerkin e sistema aproximado

Para cada m , sejam $V_m = [v_1, \dots, v_m]$ e $W_m = [w_1, \dots, w_m]$, onde $(v_i)_{i \in \mathbb{N}}$ é uma base Hilbertiana de $V \cap H_{\Delta}(\Omega)$ e $(w_i)_{i \in \mathbb{N}}$ é base de autovetores do operador de Laplace em $H_0^1(\Omega)$. Desta forma, o problema aproximado consiste em determinar $u_m : [0, T[\rightarrow V_m$, $\theta_m : [0, T[\rightarrow W_m$, representados por $u_m(t) = \sum_{i=1}^m c_i(t)v_i$ e $\theta_m(t) = \sum_{i=1}^m d_i(t)w_i$, tais que

$$\begin{cases} (u_m'', v) + \alpha(t) [(\nabla u_m, \nabla v) + (\eta(x)u_m', v)_{\Gamma_1}] + ((\mathbf{a} \cdot \nabla)\theta_m, v) + \lambda(|u_m|_{\mathbb{R}}^\rho u_m, v) = 0, \\ (\theta_m', w) + \beta \left(\int_{\Omega} \theta_m dx \right) (\nabla \theta_m, \nabla w) + ((\mathbf{a} \cdot \nabla)u_m', w) + (\gamma(\theta_m), w) = 0, \end{cases} \tag{6}$$

$\forall v \in V_m, \forall w \in W_m$, com $u_m(0) = u_{0m}, u_m'(0) = u_{1m}$ e $\theta_m(0) = \theta_{0m}$. A existência das sequências $(u_{0m})_{m \in \mathbb{N}}$ e $(u_{1m})_{m \in \mathbb{N}}$ satisfazendo a condição de compatibilidade $\frac{\partial u_{0m}}{\partial \nu} + \eta u_{1m} = 0$ sobre Γ_1 pode ser verificada seguindo as ideias contidas em [6].

Substituindo $(u_m(t), \theta_m(t))$ em (6) e considerando $v = v_j, w = w_j$ para $j = 1, \dots, m$, obtemos

$$\begin{cases} Ac''(t) + \alpha(t)Kc(t) + \alpha(t)Ec'(t) + B^T d(t) + R(c(t)) = 0, \\ \bar{A}d'(t) + \beta \left(\sum_{k=1}^m d_k(t) \int_{\Omega} w_k dx \right) \bar{K}d(t) + \bar{B}^T c'(t) + S(d(t)) = 0, \end{cases} \tag{7}$$

onde as matrizes são definidas por

$$\begin{aligned} A_{i,j} &= (v_i, v_j), \quad K_{i,j} = (\nabla v_i, \nabla v_j), \quad B_{i,j} = ((\mathbf{a} \cdot \nabla)w_i, v_j), \quad E_{i,j} = (\eta v_i, v_j)_{\Gamma_1}, \\ \bar{A}_{i,j} &= (w_i, w_j), \quad \bar{K}_{i,j} = (\nabla w_i, \nabla w_j), \quad \bar{B}_{i,j} = ((\mathbf{a} \cdot \nabla)v_i, w_j), \end{aligned} \tag{8}$$

$$R_j(c(t)) = \lambda \left(\left| \sum_{k=1}^m c_k(t)v_k \right|_{\mathbb{R}}^\rho \sum_{i=1}^m c_i(t)v_i, v_j \right), \quad S_j(d(t)) = \left(\gamma \left(\sum_{k=1}^m d_k(t)w_k \right), w_j \right).$$

O sistema (7) é um sistema não linear de equações diferenciais ordinárias de segunda ordem acoplado. Para o cálculo dos termos em (8), utilizamos o método dos elementos finitos considerando como base para os espaços V_m e W_m polinômios lineares por partes.

3.2 Método das diferenças finitas

Como a solução analítica do sistema não linear não é conhecida, vamos introduzir um método numérico utilizando diferenças finitas para obtermos uma solução discreta no tempo.

Seja $0 = t_1 < t_2 < \dots < t_N = T$ uma discretização uniforme do intervalo de tempo $[0, T]$. Vamos desenvolver um método numérico baseado no θ -método para o sistema (7). Considere a primeira equação nos tempos t_{n+1} e t_{n-1} e a segunda equação nos tempos t_{n+1} e t_n . Calculando a média, obtemos

$$\begin{cases} A \frac{c'^{n+1} + c'^{n-1}}{2} + K \frac{\alpha^{n+1}c^{n+1} + \alpha^{n-1}c^{n-1}}{2} + E \frac{\alpha^{n+1}c'^{n+1} + \alpha^{n-1}c'^{n-1}}{2} + \\ + B^T \frac{d^{n+1} + d^{n-1}}{2} + \frac{R(c^{n+1}) + R(c^{n-1})}{2} = 0, \\ \bar{A} \frac{d^{n+1} + d^n}{2} + \bar{K} \frac{\beta(d^{n+1})d^{n+1} + \beta(d^n)d^n}{2} + \bar{B}^T \frac{c^{n+1} + c^n}{2} + \frac{S(d^{n+1}) + S(d^n)}{2} = 0, \end{cases} \quad (9)$$

onde $c^n = c(t_n)$ e $d^n = d(t_n)$. Esse procedimento permite uma ordem de convergência quadrática no tempo.

As matrizes do sistema (9) são de ordem $m \times m$. Logo, resolver o sistema acoplado resulta em um sistema não linear de ordem $2m \times 2m$.

Buscando diminuir o custo computacional, foram feitas aproximações de segunda ordem para os termos envolvendo as derivadas, ver [5], resultando no seguinte sistema desacoplado no tempo discreto $t = t_n$:

$$\begin{cases} \left(2A + (\Delta t)^2 \alpha^{n+1} K + (\Delta t) \frac{3\alpha^{n+1} - \alpha^{n-1}}{2} E \right) c^{n+1} + (\Delta t)^2 R(c^{n+1}) + L_1^n = 0, \\ (2\bar{A} + (\Delta t)\beta(d^{n+1})\bar{K}) d^{n+1} + (\Delta t)S(d^{n+1}) + 2\bar{B}^T c^{n+1} + L_2^n = 0, \end{cases} \quad (10)$$

em que os vetores L_1^n e L_2^n são formados pelos termos que não dependem de c^{n+1} e d^{n+1} .

Sendo o sistema (10) não linear, determinamos as soluções (c^{n+1}, d^{n+1}) , para $n = 1, 2, \dots, N - 1$, aplicado o Método de Newton. As soluções no tempo inicial, (c^1, d^1) , são obtidas pelas condições iniciais.

3.3 Sistema não linear

Encontrar a solução do sistema (10) implica encontrar $X = c^{n+1}$ e $Y = d^{n+1}$ tais que $\mathcal{F}(X) = 0$ e $\mathcal{G}(Y) = 0$, onde

$$\begin{aligned} \mathcal{F}(X) &= \left[2A + (\Delta t)^2 \alpha^{n+1} K + (\Delta t) \frac{3\alpha^{n+1} - \alpha^{n-1}}{2} E \right] X + (\Delta t)^2 R(X) + L_1^n, \\ \mathcal{G}(Y) &= [2\bar{A} + (\Delta t)\beta(Y)\bar{K}] Y + (\Delta t)S(Y) + 2\bar{B}^T X + L_2^n. \end{aligned}$$

Para cada n fixo, seja $X_1 = C^n$ a primeira aproximação para a solução de $\mathcal{F}(X) = 0$. Daí, pela solução do sistema linear $J\mathcal{F}(X_j) \cdot s_j = -\mathcal{F}(X_j)$, $j = 1, 2, 3, \dots$, encontramos uma sequência de soluções aproximadas, em que $X_{j+1} = s_j + X_j$ e $J\mathcal{F}(X_j)$ é a matriz Jacobiana de \mathcal{F} calculada em X_j . O critério de parada utilizado foi o $\max|X_{j+1} - X_j| < 10^{-12}$. Uma vez encontrado X , procedemos de forma análoga para encontrar a raiz de $\mathcal{G}(Y)$.

4 Simulação Numérica

Nesta seção apresentamos experimentos numéricos para verificar a eficiência do método numérico e comprovar os resultados teóricos. A implementação foi realizada no MatLab.

Nos testes realizados, o método se mostrou incondicionalmente estável. Contudo, para verificar a ordem de convergência, consideraremos discretizações idênticas para o espaço e tempo, denotadas por h_i . Para cada h_i , seja E_i o erro da solução aproximada na norma de $L^\infty(0, T; L^2(\Omega))$. Desta forma, para $h_{i+1} = h_i/2$, a taxa de convergência é dada por $p = \ln(\|E_i\|/\|E_{i+1}\|) / \ln(2)$, veja [7].

Em nossos experimentos, consideramos o problema unidimensional com $T=1$, $\Omega =]0, 1[$, $\Gamma_0 = \{0\}$, $\Gamma_1 = \{1\}$ e demais dados de entrada dados por:

$$\begin{aligned} \alpha(t) &= t + 1, \mathbf{a} = 1, \lambda = 1, \beta(y) = y^2 + 1, \gamma(y) = y^2, \eta = 1, \\ u(x, 0) &= \text{sen}\left(\frac{3\pi}{4}x\right), u'(x, 0) = \frac{3\pi}{4\eta}\text{sen}\left(\frac{3\pi}{4}x\right), \theta(x, 0) = \text{sen}(\pi x). \end{aligned} \tag{11}$$

Problema não homogêneo. Inicialmente, para validar a implementação, vamos comparar a solução numérica com a solução exata. Dado que a solução exata do problema não é conhecida, vamos considerar uma versão não homogênea de (1)-(2). Fazemos isto introduzindo funções suficientemente regulares $f(x, t)$ e $g(x, t)$ no lado direito das equações em (1). Neste caso, veja [7], escolhendo as forças f e g de forma conveniente, as soluções exatas são conhecidas e dadas por: $u(x, t) = \text{sen}\left(\frac{3\pi}{4}x\right) \exp\left(\frac{3\pi}{4\eta}t\right)$, $\theta(x, t) = \text{sen}(\pi x) \exp\left(\frac{3\pi}{4\eta}t\right)$.

Na Tabela 1 apresentamos os erros e taxas de convergências, em u^h e θ^h , quando o parâmetro ρ do termo não linear é igual a 0 e 3. Observe que $\rho = 0$ torna a primeira equação em (1) linear. Para $\rho = 1$ ou $\rho = 2$ os resultados foram similares ao caso $\rho = 3$. A Tabela 1 mostra que a ordem de convergência p da solução numérica é quadrática no tempo e espaço.

Tabela 1: Erro e taxa de convergência p do problema não homogêneo para dois valores de ρ .

h_i	$-\log_{10}(\text{Erro}(u^h))$		$-\log_{10}(\text{Erro}(\theta^h))$		p_{u^h}		p_{θ^h}	
	$\rho = 0$	$\rho = 3$	$\rho = 0$	$\rho = 3$	$\rho = 0$	$\rho = 3$	$\rho = 0$	$\rho = 3$
2^{-4}	1.4167	1.8091	1.7949	1.7931	—	—	—	—
2^{-5}	2.0215	2.4151	2.3980	2.3967	2.0088	2.0129	2.0035	2.0050
2^{-6}	2.6255	3.0120	3.0004	2.9979	2.0065	1.9828	2.0009	1.9971
2^{-7}	3.2287	3.6196	3.6025	3.5996	2.0037	2.0185	2.0002	1.9989

Problema homogêneo. Como a solução exata não é conhecida, consideramos como solução "exata" a solução aproximada obtida usando uma malha suficientemente fina. Nesse experimento foi utilizado $h_i = 2^{-9}$ que corresponde a 512 elementos. As soluções (u^h, θ^h) , para $\rho = 3$, podem ser observadas em todos os passos de tempo na Figura 1.

Para considerar a ordem de grandeza dos erros foram considerados os erros relativos. Na Tabela 2 podemos observar que a ordem de convergência p obtida foi quase quadrática.

Tabela 2: Erro relativo e taxa de convergência p do problema homogêneo para dois valores de ρ .

h_i	$Erro(u^h)$		$Erro(\theta^h)$		p_{u^h}		p_{θ^h}	
	$\rho = 0$	$\rho = 3$	$\rho = 0$	$\rho = 3$	$\rho = 0$	$\rho = 3$	$\rho = 0$	$\rho = 3$
2^{-4}	0.0326	0.0400	0.7636	1.0035	—	—	—	—
2^{-5}	0.0091	0.0111	0.2343	0.2332	1.8456	1.8544	1.7046	2.1057
2^{-6}	0.0025	0.0030	0.0684	0.0795	1.8603	1.8913	1.7766	1.5529
2^{-7}	0.0006	0.0007	0.0163	0.0188	1.9636	1.9924	2.0719	2.0764

Decaimento assintótico da energia. A energia total associado com a formulação fraca de (1)-(2) é dada por $E(t) = \frac{1}{2} \left\{ |u'(t)|^2 + |\theta(t)|^2 + \alpha(t)|\nabla u(t)|^2 + \frac{2\lambda}{\rho+2} \|u(t)\|_{L^{\rho+2}(\Omega)}^{\rho+2} \right\}$. Resultados teóricos mostram que $E(t) \rightarrow 0$ quando $t \rightarrow \infty$. Calculando a energia no tempo discreto $t = t_n$, usando integração numérica, mostramos na Figura 2, com $h_i = 2^{-9}$, o decaimento da energia, representada pela logaritmo na base 10.

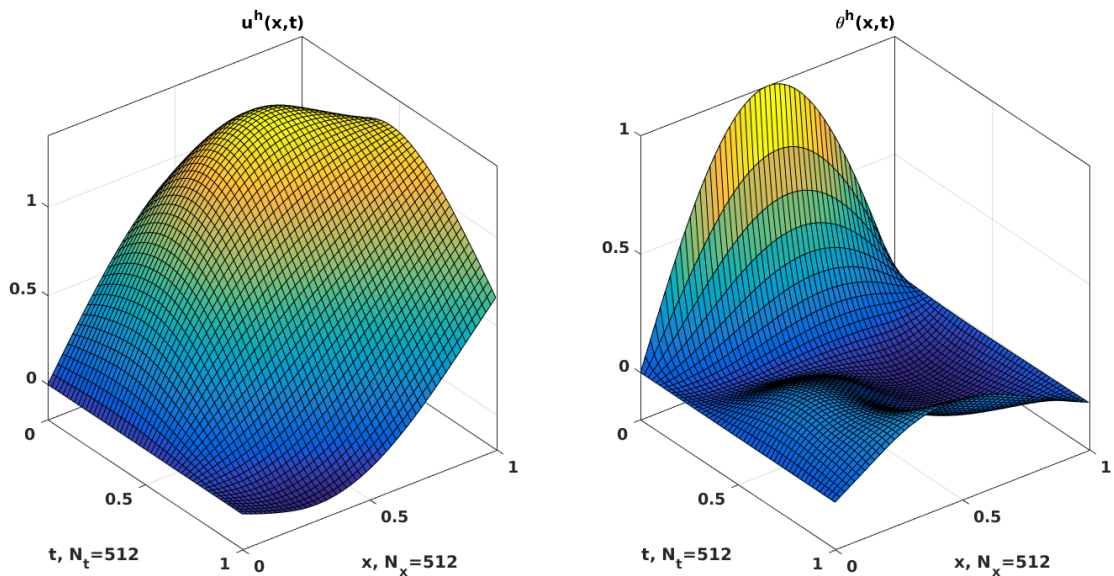


Figura 1: Solução numérica do problema homogêneo considerando $\rho = 3$.

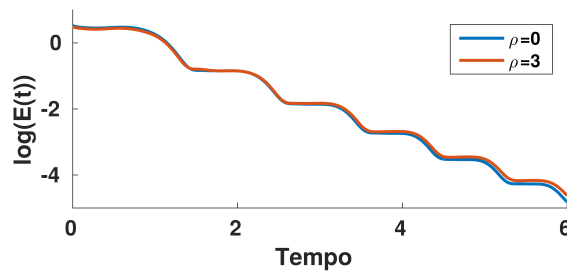


Figura 2: Decaimento da energia.

5 Conclusões

Neste trabalho, apresentamos resultados teóricos e numéricos para um sistema de equações não lineares do tipo termoelástico. Analiticamente, condições para existência e unicidade foram estabelecidas no Teorema 2.1. Numericamente, um método numérico foi desenvolvido para a solução do modelo em estudo. Os exemplos numéricos apresentados indicam que a ordem de convergência é quadrática no espaço e no tempo e que a energia associada ao modelo decai assintoticamente. Os resultados numéricos para os casos $\rho = 1$ e $\rho = 2$ foram similares ao caso $\rho = 3$.

Referências

- [1] M. Chipot and B. Lovat. On the asymptotic behaviour of some nonlocal problems. *Positivity*, 3:65–81, 1999. DOI: 10.1023/A:1009706118910.
- [2] H.R. Clark, L.P. San Gil Jutuca, and M. M. Milla. On a mixed problem for a linear coupled system with variable coefficients. *Electronic Journal of Differential Equations*, 1998:1–20, 1998. ISSN: 1072-6691.
- [3] P. Braz e Silva, H. R. Clark, and C. L. Frota. On a nonlinear coupled system of thermoelastic type with acoustic boundary conditions. *Computational and Applied Mathematics*, pages 1–18, 2015. DOI: 10.1007/S40314-015-0236-1.
- [4] M.A. Rincon, B.S. Santos, and J. Límaco. Numerical method, existence and uniqueness for thermoelasticity system with moving boundary. *Computational and Applied Mathematics*, 24:439–460, 2005. DOI: 10.1590/S0101-82052005000300007.
- [5] B. A. Carmo. Análise e simulação numérica de um sistema dissipativo do tipo termoelástico. Dissertação de Mestrado, UFRJ, 2015.
- [6] L. A. Medeiros and M. M. Miranda. On a boundary value problem for wave equations: Existence, uniqueness-asymptotic behavior. *Revista de Matemáticas Aplicadas*, 17:47–73, 1996.
- [7] M. A. Rincon and I-S. Liu. *Introdução ao método de elementos finitos*. IM/UFRJ, Rio de Janeiro, 2011.